

## ЭВОЛЮЦИЯ СИЛЬНОЙ СФЕРИЧЕСКОЙ УДАРНОЙ ВОЛНЫ В НЕОДНОРОДНОЙ АТМОСФЕРЕ

*B. A. Павлов*

(Ленинград)

После опубликования [1] было уделено значительное внимание задаче о распространении сферических [2—6] и плоских [3, 7, 8] сильных ударных волн (УВ) в неоднородной атмосфере. Развита «геометрическая динамика» сильной УВ [9, 10] и предложено [10, 11] «правило характеристик» для таких волн. Методика [9—11] успешно применялась для задачи о плоских волнах [10].

В настоящей работе на основе представлений [9—11] исследуется эволюция сильной сферической УВ в неоднородной атмосфере. Точность приближенных аналитических формул оказывается выше, чем аналогичные результаты в [1—5].

Невозмущенное состояние плотности и давления атмосферы характеризуется соотношением  $\rho_0(z)/\rho_0(0) = p_0(z)/p_0(0) = \exp(-z/H)$  ( $H$  — высота «однородной» атмосферы). Среду опишем системой уравнений газовой динамики

$$(1) \quad \begin{aligned} \partial\rho/\partial t + \operatorname{div}(\rho\mathbf{v}) &= Q_1, \quad d\mathbf{v}/dt = -(1/\rho)\nabla p + \mathbf{g} = \mathbf{Q}_2, \\ dp/dt - a^2 d\rho/dt &= Q_3, \end{aligned}$$

где  $\mathbf{v}$ ,  $\mathbf{g}$ ,  $a$  — скорость газа, ускорение силы тяжести и скорость звука;  $Q_1(t, \mathbf{r}) = Q_{01}(t)\delta(\mathbf{r})$ ;  $\mathbf{Q}_2(t, \mathbf{r}) = \mathbf{Q}_{02}(t)\delta(\mathbf{r})||\mathbf{z}$ ;  $Q_3(t, \mathbf{r}) = Q_{03}(t)\delta(\mathbf{r})$  — функции, описывающие точечный источник. Этот источник расположен в точке  $R = 0$  ( $R, \theta$  — сферические координаты,  $z = R \cos \theta$ ) и возбуждает сильную УВ, уходящую на бесконечность. Так как свойства среды зависят только от одной координаты  $z$ , источник точечный и импульс его ориентирован вдоль оси  $\mathbf{z}$ , то решение системы (1) обладает осевой симметрией. Известно [5, 6], что у волны, идущей вверх ( $0 \leq \theta \leq \pi/2$ ), скорость перемещения фронта изменяется немонотонно. Она имеет минимум при  $R = 1,5H/\cos \theta$  [6] (аналитические расчеты [5] дают грубый результат:  $R = 4H/\cos \theta$ ). В настоящей работе анализируется эволюция сильной УВ (число Маха  $M > 1$ ) на той стадии, когда скорость ударного фронта  $u$  монотонно возрастает:  $R \geq R_0 > 1,5H/\cos \theta$ ,  $0 \leq \theta \leq \pi/2$ . Для сильных УВ допустимо исследовать поля на фронте, не рассматривая деталей волновой структуры за фронтом [9—11]. При этом удается получить приближенные аналитические представления полей на фронте.

Пусть  $Q_{01}(t)$ ,  $\mathbf{Q}_{02}(t)$ ,  $Q_{03}(t)$  — такие функции, что источник в (1) на расстоянии  $R = R_0$  создает УВ с профилем в виде «скачка». Считаем, что скорость ударного фронта  $u(R_0, \theta)$  известна. Потребуем, чтобы на фронте выполнялись известные соотношения для «скачка»:

$$(2) \quad \begin{aligned} v &= \frac{2a_0}{\gamma+1} \left( M - \frac{1}{M} \right), \quad p = \rho_0(t) a_0^2 \left[ \frac{2}{\gamma+1} M^2 - \frac{\gamma-1}{\gamma+1} \right], \\ \rho &= \rho_0(z) \frac{\gamma+1}{\gamma-1} \left( 1 + \frac{2}{\gamma-1} \frac{1}{M^2} \right)^{-1}, \quad a\rho = a_0 \rho_0(z) M \sqrt{\frac{2\gamma}{\gamma-1}} E_1(M), \end{aligned}$$

где  $M = \frac{u(R_0, \theta)}{a_0} > 1$ ;  $E_1(M) = \left[ 1 + \frac{4\gamma - (\gamma-1)^2}{2\gamma(\gamma-1)M^2} - \frac{1}{\gamma M^4} \right]^{1/2} \left[ 1 + \frac{2}{(\gamma-1)M^2} \right]^{-1}$ ;  $a$ ,  $a_0$  — скорость звука и невозмущенное значение ее;  $\gamma$  — отношение теплоемкостей при постоянном давлении и постоянном объеме.

Как и в [9], введем нелинейные лучевые координаты  $\alpha, \beta$ , связанные с фронтом УВ (рис. 1). Считаем, что орт  $\mathbf{e}_\alpha$  перпендикулярен ударному фронту ( $\mathbf{e}_\alpha \perp \mathbf{e}_\beta$ ) и, кроме того, имеет место соотношение  $(\mathbf{e}_R, \mathbf{e}_\alpha) = \cos \Delta$ . За элементы расстояний вдоль осей  $\alpha$  и  $\beta$  возьмем соответственно  $M d\alpha$  и  $A d\beta$  ( $A$  — безразмерная функция, описывающая поперечное сечение лучевой трубки [9]). Таким образом, здесь используются координаты с неоднородными нелинейными масштабами длины. УВ может быть описана тремя функциями:  $\Delta(\alpha, \beta)$ ,  $M(\alpha, \beta)$  и  $A(\alpha, \beta)$ , удовлетворяющими двум

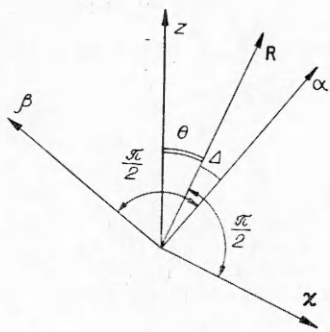


Рис. 1

уравнениям нелинейной «геометрической динамики» [9]:

$$(3) \quad \partial\Delta/\partial\beta = (1/M) \partial A/\partial\alpha;$$

$$(4) \quad \partial\Delta/\partial\alpha = (-1/A) \partial M/\partial\beta.$$

По существу, (3), (4) представляют собой условие инвариантности квадрата элемента длины  $M^2 d^2\alpha + A^2 d\beta^2$  при переходе к исходной системе координат  $R, \theta, \alpha$ . Недостающее третье уравнение получим, основываясь на приближенном «правиле характеристик» [10, 11], считая, что профиль УВ имеет вид «скачка» (2) и скачок отождествлен с поверхностью характеристики  $C_+$  уравнений газовой динамики (1). Используем приближение одномерного поля, распространяющегося в тонкой лучевой трубке вдоль координаты  $\alpha$ . В такой лучевой трубке с непроницаемыми для газа стенками при выполнении условий слабой зависимости полей от координаты  $\beta$

$$\left| \frac{\partial}{M\partial\alpha} (A\rho v_\alpha) \right| \gg \left| \frac{\partial}{A\partial\beta} (A\rho v_\beta) \right|, \quad \left| V_\alpha \frac{\partial}{M\partial\alpha} \begin{pmatrix} v_\alpha \\ p \\ \rho \end{pmatrix} \right| \gg \left| v_\beta \frac{\partial}{A\partial\beta} \begin{pmatrix} v_\alpha \\ p \\ \rho \end{pmatrix} \right|$$

имеют место приближенные соотношения

$$\operatorname{div}(\rho v) \approx \frac{\partial}{AM\partial\alpha} (A\rho v), \quad v \approx v_\alpha, \quad \frac{d}{dt} \approx \frac{d}{dt} + v \frac{\partial}{M\partial\alpha}$$

и система (1) упрощается:

$$(5) \quad \frac{\partial p}{\partial t} + \frac{1}{A} \frac{\partial}{M\partial\alpha} (A\rho v) \approx Q_1,$$

$$\frac{\partial v}{\partial t} + v \frac{\partial v}{M\partial\alpha} + \frac{1}{\rho} \frac{\partial p}{M\partial\alpha} + (g, e_\alpha) \simeq (\hat{Q}_2, e_\alpha), \quad \frac{\partial p}{\partial t} + v \frac{\partial p}{\partial\alpha} - a^2 \left( \frac{\partial \rho}{\partial t} + v \frac{\partial \rho}{M\partial\alpha} \right) \approx Q_3.$$

Из системы (5) для характеристики  $C_+$  при  $0 \leq \theta \leq \pi/2, R > R_0$  получаем

$$(6) \quad \frac{dp}{d\alpha} + \rho a \frac{dv}{M\partial\alpha} = - \frac{a^2 \rho v}{A(v+a)} \frac{dA}{M\partial\alpha} - \frac{\rho a g \cos \theta}{v+a}, \quad M \frac{d\alpha}{dt} = v + a.$$

Система уравнений (2), (6) дает искомое третье уравнение для отыскания  $\Delta, M, A$ :

$$(7) \quad \begin{aligned} & \frac{1}{E_2} (M) \frac{dM^2}{d\alpha} - \frac{1}{\rho_0} \frac{d\rho_0}{d\alpha} \left( 2M^2 - \frac{\gamma-1}{\gamma} \right) = \\ & = \frac{(\gamma+1)}{\rho_0 a_0} \left\{ \frac{a^2 \rho v}{v+a} \right\} \frac{1}{A} \frac{dA}{d\alpha} - \frac{(\gamma+1)}{\rho_0 a^2} \left\{ \frac{\rho a M}{v+a} \right\} \cos \theta, \quad E_2(M) = \\ & = \left[ 2 \left( 1 + \frac{1}{M^2} \right) \sqrt{\frac{2\gamma}{\gamma-1}} E_1(M) \right]^{-1}. \end{aligned}$$

На стадии  $R > R_0$  имеем дело с однородной системой (3), (4), (7) и решение задачи с источниками  $Q_1, Q_2, Q_3$  заменяем граничной задачей. Функции,

Сферическая волна								
$\gamma$	$b_*(\gamma)$	Расчет по формуле (10)		Автомодельное решение при $A = A(R)$ [4]		Парabolическое приближение при $A = A(R)$ [4]		[5]
		$b(\gamma)$	$\delta(\gamma) \%$	$b(\gamma)$	$\delta(\gamma) \%$	$b(\gamma)$	$\delta(\gamma) \%$	
1,1	0,117	0,1319	+12,7					0,04167
1,2	0,146	0,1530	+4,79					0,07143
1,4	0,174	0,1798	+3,33	0,1269	-27,1	0,1294	-25,6	0,1111
1,5	0,184	0,1859	+1,03					0,1250
5/3	0,195	0,1926	-1,23					0,1429
2,0	0,211	0,2000	-5,21					0,1667

стоящие в фигурных скобках в (7), зависят только от  $M$ . Роль источников  $Q_1, Q_2, Q_3$  проявляется в создании профиля в виде скачка и в задании скорости ударного фронта  $u(R_0, \theta)$  на сфере радиуса  $R_0$ . Решим систему (3), (4), (7) приближенно, считая, что локально форма ударного фронта слабо отличается от сферической. При этом функции  $M$  и  $A$  будут медленно зависеть от угловой координаты  $\theta$  по сравнению с изменением этих функций в зависимости от  $R$ . Переидем к системе локальных ортогональных координат  $R, \chi$  (см. рис. 1), связанных с точкой на фронте УВ:  $\chi = x \cos \theta - z \sin \theta$ ,  $R = x \sin \theta + z \cos \theta$ ,  $M d\alpha = dR \cos \Delta + d\chi \sin \Delta$ ,  $A d\beta = -d\chi \cos \Delta + dR \sin \Delta$  (векторы  $x, z, \alpha, \beta$  лежат в одной плоскости). Систему (3), (4) приближенно заменим уравнениями

$$(8) \quad \frac{\partial}{\partial \chi} \left( \frac{\sin \Delta}{A} \right) + \frac{\partial}{\partial R} \left( \frac{\cos \Delta}{A} \right) = 0, \quad \frac{\partial}{\partial \chi} \left( \frac{\cos \Delta}{M} \right) - \frac{\partial}{\partial R} \left( \frac{\sin \Delta}{M} \right) = 0,$$

которые имеют решение  $\Delta = \Delta(\chi)$ ,  $A/M = \text{const}$ ,  $A = A(R)$ ,  $M = M(R)$ .

При переходе от (3), (4) к (8) угол  $\theta$  приобретает роль параметра, лучевыми координатами становятся  $R, \chi$ , и, как следствие, получается условие синхронного изменения функций  $A$  и  $M$ :  $A/M \approx \text{const}$ . В рассматриваемом далее случае  $M \gg 1$  возможно упрощение (7) к виду

$$\frac{\lambda_1(\gamma)}{M} \frac{dM}{d\alpha} + \frac{1}{A} \frac{dA}{d\alpha} + (\frac{1}{A} + \lambda_2(\gamma)) \frac{1}{\rho_0} \frac{d\rho_0}{d\alpha} \approx 0 \text{ или}$$

$$(9) \quad A/A_0 = (M/M_0)^{-\lambda_1} \left[ \frac{\rho_0 (R \cos \theta)}{\rho_0 (R_0 \cos \theta)} \right]^{-(1+\lambda_2)}.$$

Здесь  $\lambda_1(\gamma) = 1 + 2/\gamma + \sqrt{2\gamma/(\gamma-1)}$ ;  $\lambda_1(1,4) = 5,0743227$ ;  $\lambda_2(\gamma) = \sqrt{(\gamma-1)/2\gamma} - (\gamma-1)/\gamma$ ;  $\lambda_2(1,4) = 0,0922502$ ;  $A_0, M_0$  — значения функций  $A, M$  при  $R = R_0$ . Система уравнений (8), (9) имеет решение

$$(10) \quad M(R)/M_0 = A(R)/A_0 = \exp [(b(\gamma)/H)(R - R_0) \cos \theta],$$

$$\Delta(\chi) = -(\chi/H)b(\gamma) \cos \theta, \quad b(\gamma) = (1 + \lambda_2(\gamma))/(1 + \lambda_1(\gamma)).$$

Согласно (10), площадь поперечного сечения лучевой трубки  $A(R)$  изменяется по экспоненциальному закону. Гипотеза об экспоненциальной зависимости  $A(R)$  использовалась в [3, 4] при построении автомодельного решения второго рода, но при этом синхронность изменения  $A(R)$  и  $M(R)$  отсутствовала. В [5] авторы исходили из допущения  $A(R) \sim R^2$ . Сопоставление (10) для параметра  $b(\gamma)$  с данными других работ сделано в таблице, где  $b = b_*(\gamma)$  — результат численного интегрирования уравнений газовой динамики [6]. Параметр  $\delta(\gamma) = (b(\gamma) - b_*(\gamma))/b_*(\gamma) \cdot 100\%$  — относительная погрешность приближенных аналитических результатов. В таблице приведены также данные [3, 7, 8, 10] о плоской УВ в неоднородной атмосфере, так как их иногда используют для описания сферической волны. Наибольшая точность формулы (10) осуществляется при  $\gamma \approx 1,5$ , при  $\gamma = 1,2-2,0$  погрешность составляет единицы процентов, при  $\gamma = 1,1$   $\delta = 12,7\%$ . Для любых значений  $\gamma$  результаты (10) оказываются точнее, чем [4, 5] для сферической волны. Для плоской волны при

Плоская волна							
Автомодельное решение [8]		Автомодельное решение [7]		Автомодельное решение [3]		$b(\gamma) = \left( 2 + \sqrt{\frac{2\gamma}{\gamma-1}} \right)^{-1}$ [10]	
$b(\gamma)$	$\delta(\gamma) \%$	$b(\gamma)$	$\delta(\gamma) \%$	$b(\gamma)$	$\delta(\gamma) \%$	$b(\gamma)$	$\delta(\gamma) \%$
0,126	+16,2					0,149	+27,3
0,155	+6,16	0,154	+6,16	0,1545	+5,82	0,183	+25,3
				0,1835	+5,46	0,215	+23,6
0,176	-3,26			0,193	+4,89	0,225	+22,0
0,204	+4,62	0,204	+4,62	0,204	+4,61	0,236	+21,0
0,219	+3,79			0,219	+4,10	0,250	+28,2

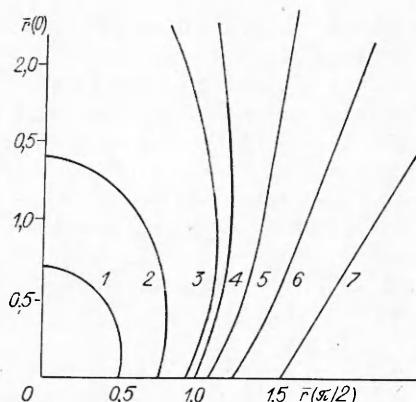


Рис. 2

$\gamma = 2,0$  результат [8, 3] немного ближе к  $b_*(\gamma)$  сферической волны из [6], чем формула (10). Строго говоря, сопоставление данных для плоской и сферической волн некорректно, кроме того, случай  $\gamma = 2,0$  соответствует замороженной степени ионизации при малых плотностях среды (эта ситуация представляет малый интерес для сильных УВ). Отметим, что точность метода [9—11] в общем случае установить не удается. Близость данных [6] и формулы (10) является свидетельством достоинств метода [9—11]. При получении (8)—(10) существенным фактором было убывание плотности невозмущенной среды по мере распространения УВ.

Это обеспечивало при  $R > R_0$  возрастание скорости УВ при увеличении  $R$ . Метод [9—11] не следует применять при  $\pi/2 < \theta \leq \pi$  и  $H = \infty$  (в однородной среде), так как происходит уменьшение скорости УВ с увеличением  $R$ . Волна в такой ситуации из сильной ( $M > 1$ ) переходит в слабую ( $M \rightarrow 1$ ).

Рассмотрим эволюцию сильной УВ ( $M \gg 1$ ) (2), (10). В нашем приближении  $M = M(R)$  и не зависит от  $\chi$  ( $\chi \perp \mathbf{R}$ ). Это означает, что имеет место локальное свойство  $\mathbf{u} \parallel \mathbf{R} \parallel \boldsymbol{\alpha}$  и из (10) при учете  $u = dR/dt$  получим соотношение для описания эволюции ударного фронта

(11)

$$\frac{b(\gamma)}{H} [R(t, \theta) - R_0] = - \frac{1}{\cos \theta} \ln \left[ 1 - \frac{t \cos \theta}{t_\infty(0)} \right] \quad (t_\infty(\theta) \equiv H(b(\gamma) a_0 M_0 \cos \theta)^{-1}).$$

При  $t = t_\infty(\theta)$  осуществляется «прорыв» ударного фронта на бесконечность за конечное время, т. е. реализуется «взрывная» неустойчивость. Первоначально «прорыв» происходит в направлении  $\theta = 0$  в момент времени  $t = t_\infty(0)$ . С увеличением времени расширяется сектор углов  $\theta$ , охваченный таким «прорывом». На рис. 2 изображена форма УВ как функция безразмерного времени  $\bar{t} = t/t_\infty(0)$  (линии 1—7 отвечают  $\bar{t} = 0,5; 0,75; 0,95; 1,0; 1,1; 1,25; 1,5$ ), радиус-вектор  $\bar{r}(\theta)$  взят в виде безразмерной величины  $b(\gamma) [R(t, \theta) - R_0] H^{-1}$ . Максимальное горизонтальное расстояние, пройденное УВ к моменту  $t = t_\infty(0)$ , оценивается соотношением  $\max r = R_0 + 1,23H/b(\gamma)$  ( $R > 1,5 H$ ,  $b^{-1}(\gamma) \approx 5,7$ ). Значит,  $\max r > 8,5 H$ .

Горизонтальное расстояние в плоскости  $\theta = \pi/2$ , пройденное УВ к моменту  $t = t_\infty(0)$   $r(\theta = \pi/2) = R_0 + Hb^{-1} > 7,2 H$ . Для сравнения приведем оценку по данным [1]:  $\max r \approx 2,04 H$ . Если взять  $a_0 \approx 400 \text{ м/с}$ ,  $H \approx 10^4 \text{ м}$ ,  $b^{-1} \approx 5,7$ , то находим оценку параметра  $t_\infty(0) \approx 2,4/M \text{ мин}$  ( $M_0 > 1$ ).

В области ухода ударного фронта на бесконечность нарушаются предположения о слабой зависимости полей от угла  $\theta$  и условия применимости формул (10), (11). Из соотношений (10), (11) получается представление для эволюции скорости УВ

$$(12) u(t, \theta) = (H/b(\gamma)) [t_\infty(0) - t \cos \theta]^{-1}, \quad M(t, \theta) = M_0 t_\infty(0)/(t_\infty(0) - t \cos \theta).$$

Учитывая (2), (10) и (12) при  $M \gg 1$ , имеем представления для полей  $v$ ,  $p$ ,  $\rho$ ,  $a$  в УВ.

В качестве примера приведем выражения, описывающие давление:

$$p(R, \theta) = D_1(\theta) \exp \left[ - (1 - 2b) \frac{R \cos \theta}{H} \right], \quad p(t, \theta) = D_2(\theta) \left[ 1 - \frac{t \cos \theta}{t_\infty(0)} \right]^{\frac{1-2b}{b}},$$

$$D_1(\theta) = \frac{1}{\gamma+1} 2M_0^2 a_0^2 \rho_0(0) \exp\left(-\frac{2bR_0}{H} \cos \theta\right),$$

$$D_2(\theta) = \frac{1}{\gamma+1} 2M_0^2 a_0^2 \rho_0(0) \exp\left(-\frac{R_0}{H} \cos \theta\right).$$

При  $R \rightarrow \infty$   $p \rightarrow 0$  ( $t \rightarrow t_\infty(\theta)$ ).

#### ЛИТЕРАТУРА

1. Компанеец А. С. Точечный взрыв в неоднородной атмосфере // ДАН СССР.— 1960.— Т. 130, вып. 5.
2. Андрианкин Э. П., Коган А. М. и др. Распространение сильного взрыва в неоднородной атмосфере // ПМТФ.— 1962.— № 6.
3. Hayes W. D. Self-similar strong shocks in an exponential medium // J. Fluid Mech.— 1968.— V. 32, pt 2. Рус. пер. Автомодельные сильные ударные волны в экспоненциальной среде // Сб. пер. Механика.— М., 1968.— № 6 (112).
4. Hayes W. D. The propagation upward of the shock wave from a strong explosion in the atmosphere // J. Fluid Mech.— 1968.— V. 32, pt. 2. Рус. пер. Распространение вверх ударной волны от сильного взрыва в атмосфере // Сб. пер. Механика.— М., 1968.— № 6 (112).
5. Laumbach D. D., Probststein R. F. A point explosion in a cold exponential atmosphere // J. Fluid Mech.— 1969.— V. 35, pt 1. Рус. пер. Точечный взрыв в холодной экспоненциальной атмосфере // Сб. пер. Механика.— М., 1969.— № 3 (115).
6. Броуд Г. Расчеты взрывов на ЭВМ.— М.: Мир, 1976.
7. Райзер Ю. П. Распространение ударной волны в неоднородной атмосфере в сторону уменьшения плотности // ПМТФ.— 1964.— № 4.
8. Grover R., Hardy J. W. The propagation of shocks in exponentially decreasing atmospheres // Astrophys. J.— 1966.— V. 143.— P. 48.
9. Whitham G. B. A new approach to problems of shock dynamics // J. Fluid Mech.— 1957.— V. 2.— P. 146.
10. Узум Дж. Линейные и нелинейные волны.— М.: Мир, 1977.
11. Whitham G. B. On the propagation of shock waves through regions of nonuniform area of flow // J. Fluid Mech.— 1958.— V. 4.— P. 337.

Поступила 22/XII 1986 г.

УДК 532.529

## СТРУКТУРА УДАРНЫХ ВОЛН В ДВУХФАЗНЫХ СМЕСЯХ ГАЗА С КАПЛЯМИ ЖИДКОСТИ

*T. Р. Аманбаев, А. И. Ивандаев*

(Чимкент, Тюмень)

При распространении ударной волны (УВ) в газовзвеси (смеси газа с большим количеством мелких частиц или капель) сильные скоростная и температурная неравновесности фаз приводят к формированию релаксационной зоны волны, где происходит обмен массой, импульсом и энергией между газовой и дисперсной фазами, который постепенно выравнивает скорости и температуры фаз. Релаксационная зона УВ в газовзвесях твердых инертных частиц рассчитывалась в [1]. Отмечалось, что основное влияние на зону релаксации обычно оказывает процесс межфазного трения, а процесс теплообмена влияет на нее в значительно меньшей степени. Влияние фазовых превращений (при отсутствии дробления капель) на структуру УВ в газокапельных смесях изучалось в [2].

В данной работе исследована структура УВ в парогазокапельных смесях при наличии процессов дробления (по механизму обтирки поверхности слоя) капель и взаимопревращений фаз. Предложена математическая модель, описывающая течение газокапельной смеси с учетом влияния сорванных (с поверхности крупных капель) мелких капель.

**1. Основные допущения и уравнения.** Для математического описания течений газокапельных смесей используем основное допущение механики гетерогенных сред: расстояния, на которых параметры течения меняются существенно, много больше характерного размера капель. Дополнительно будем полагать, что капли несжимаемые и не сталкиваются; эффекты вязкости и теплопроводности существенны лишь в процессах взаимодействия фаз; дробление крупных капель имеет место при определенных условиях и происходит по механизму обтирки, при этом с поверхности круп-